



بهینه سازی مبدل حرارتی پوسته و لوله برای استفاده در عملیات تولید روب جه فرنگی

محمد مزیدی^۱، فرهاد گراوند^۱، امین طاهری گراوند^۲، سید مهدی جعفری^۳

۱-باشگاه پژوهشگران جوان-دانشگاه آزاد اسلامی واحد گرگان.

۲-دانشجوی کارشناسی ارشد مهندسی ماشین‌های کشاورزی دانشگاه تهران. ۳-استادیار گروه صنایع غذایی دانشگاه علوم
کشاورزی و منابع طبیعی گرگان

Mohammad.mazidi@gmail.com

چکیده

مبدل‌های حرارتی از جمله ماشین‌آلات خاص انتقال حرارت هستند که در صنایع مختلف به کار می‌روند. بیش از ۳۷٪ مبدل‌های حرارتی مورد استفاده در صنایع از نوع مبدل‌های حرارتی پوسته و لوله می‌باشند. برای انتقال سریعتر انرژی حرارتی و انجام اقتصادی تر عملیات فرآوری، لازم است که ضرایب انتقال حرارت بالاتری داشته باشیم بنابراین طراحی سامانه‌های حرارتی ضروری به نظر می‌رسد. در این پژوهش، مدل ریاضی طراحی یک مبدل در اکسل پیاده شده که شامل ۲۰ متغیر، ۱۳ معادله و درجه آزادی ۷ می‌باشد که ^۳پارامتر اصلی از ۷ پارامتر باقی مانده بعنوان متغیرهای طراحی انتخاب شدند. با استفاده از ابزار بهینه سازی این نرم افزار، تابع هدف(هزینه کل سالیانه) تحت بهینه سازی قرار گرفت. در این کار تاثیر متغیرهای طراحی بر تابع هدف بررسی شده و نتایج نشان داد که برای داشتن کم ترین هزینه، باید سرعت سیال، قطر داخلی و تعداد مراحل عبور سیال به ترتیب $10\text{cm}, 1\text{m/s}$ دفعه باشند. در ضمن افت فشار بعنوان تاثیرگذارترین پارامتر در طراحی مبدل شناخته شد.

واژه‌های کلیدی: مبدل حرارتی پوسته و لوله، بهینه سازی، افت فشار، اکسل

مقدمه

مبدل‌های حرارتی از جمله ماشین‌آلات خاص انتقال حرارت هستند که در صنایع مختلف نظیر نیروگاه‌های تولید برق، پالایشگاه‌ها، صنایع غذایی، داروسازی، صنایع پتروشیمی، سردخانه‌ها و سیستم‌های گرمایش و سرمایش ساختمان‌ها و بطور کلی هرچا که مسأله تبادل انرژی مطرح باشد، مورد استفاده قرار می‌گیرند. بیش از ۳۷٪ مبدل‌های حرارتی مورد استفاده در صنایع از نوع مبدل‌های حرارتی پوسته و لوله می‌باشند که دلیل عدمه این انتخاب مقاومت این نوع مبدل‌ها در مقابل دما و فشار بالا می‌باشد

(Butter and Mascone, 1991; Pritiviraj and Andrews, 1996) مبدل پوسته و لوله از تعداد زیادی لوله حاوی سیال که بخش خارجی آن با سیال دیگر در تماس می باشد تشکیل یافته و عمل انتقال حرارت از طریق سطح واسط که همان بدنه یا جداره لوله است امکان می پذیرد پس باید لوله ها به گونه ای انتخاب گردد که علاوه بر استقامت، رسانای خوب گرما نیز باشد (Nikpay, 2008). برای انتقال سریعتر انرژی حرارتی و انجام اقتصادی تر عملیات فرآوری، لازم است که ضرایب انتقال حرارت بالاتری داشته باشیم بنابراین طراحی سامانه های حرارتی ضروری به نظر می رسد. مبدل های حرارتی پوسته و لوله نسبت به سایر مبدل های حرارتی مواد غذایی ارزان تر هستند به ویژه زمانی که قرار است بار حرارتی ریادی منتقل شود. علاوه براین می توان این مبدل ها را در فشارها و دماهای بالایی (bar ۶ و °C ۱۶۰) بکار برد (جعفری، ۱۳۸۸).

حسین آذرکیش و همکارانش با استفاده از الگوریتم ژنتیک اقدام به بهینه سازی مبدل حرارتی کرده اند. تابع هدفی که انتخاب شد، وزن مبدل بوده است (۱۳۸۶). همچنین محسن کهرم و ایمان حسیبی نیز با استفاده از الگوریتم ژنتیک و با معیار مینیمم سطح انتقال حرارت بهترین مبدل را انتخاب کردند (۱۳۸۶). رضا طسوجی برای بهینه سازی عملکرد مبدل های پوسته و لوله از تکنولوژی بافلهای مارپیچ استفاده کرد و نشان داد که استفاده از بافلهای مارپیچ در مقایسه با بافلهای معمولی، راندمان حرارتی بالاتر و رسوب کمتری دارند (۱۳۸۷). محمد مهدی شانظری و فرهاد شهرکی از مدل MINLP با درنظر گرفتن افت فشار بعنوان پارامتری تاثیرگذار اقدام به بهینه سازی تابع هزینه سرمایه گذاری کردند (۱۳۸۴). موضوع مهم در رابطه با مبدل های حرارتی پوسته و لوله، نحوه طراحی و ساخت این مبدل ها می باشد که بیشتر به صورت آزمون و خطا و مبتنی بر تجرب سازندگان می باشد. در این پژوهش، سعی شده است روند طراحی به صورت کاملا علمی و براساس معادلات موجود انجام شده و تاثیر برخی متغیرهای کلیدی مورد بررسی قرار گیرد. Chenoweth و همکارانش (۱۹۷۶)، Bell (۱۹۸۸) و Palen (۱۹۸۶) روش های طراحی به کمک کامپیوتر را برای مبدل های پوسته و لوله شرح دادند. Kuppan با استفاده از کامپیوتر یک طراحی گرمایی برای مبدل های پوسته و لوله انجام داد (۲۰۰۰).

مواد و روش ها

هدف اصلی در طراحی یک مبدل حرارتی لوله ای، تعیین سطح انتقال حرارت لازم برای یک کاربرد خاص می باشد. به این منظور از فرض های زیر استفاده می کنیم.

۱- انتقال حرارت در شرایط حالت پایدار می باشد.

۲- ضریب کلی انتقال حرارت در سراسر طول لوله ثابت است.

۳- هدایت محوری حرارت در فلز لوله وجود ندارد.

۴- مبدل حرارتی به خوبی عایق کاری شده است و اتلاف حرارت به محیط اطراف ناچیز است

شرح فرآیند

در این مقاله یک مطالعه موردی در مورد رتبه فرنگی انجام شده است. رتبه فرنگی با شدت جریان F (kg/s) و دمای T_1 (°C) وارد مبدل حرارتی شده و بعد از حرارت دیدن، دمای آن به T_2 (°C) می‌رسد. بخار اشبع نیز با شدت جریان F_s (kg/s) و دمای T_s (°C) بعنوان محیط حرارتی داغ استفاده می‌گردد. فرض بر این است که آب کندانس حاصله یک مایع اشبع با دما و شدت جریان یکسان با بخار می‌باشد. سطح کل انتقال حرارت در مبدل حرارتی برابر با A (m^2) است که از طریق آن، حرارت Q (kW) با استفاده از نیروی رانش ΔT_m (°C) منتقل می‌شود. سطح کل انتقال حرارت A (m^2) در تعداد N لوله با قطر d (m) و طول L (m) توزیع شده و لوله‌ها در داخل پوسته‌ای با قطر D (m) و به شکل n مرحله عبور آرایش یافته‌اند.

مدل فرآیند

مدل ریاضی فرآیند در جدول ۱ آمده است. این مدل شامل ۱۳ معادله می‌باشد (جعفری، ۱۳۸۸). چهار معادله اول به ترتیب موازنۀ انرژی برای محصول، موازنۀ انرژی برای محیط حرارتی، اختلاف دمای میانگین و انتقال حرارت بین دو جریان می‌باشد. از معادله E05 برای محاسبه ضریب انتقال حرارت کلی (U) با توجه به ضریب انتقال حرارت سطحی در داخل (hi) و خارج (ho) لوله‌ها استفاده می‌گردد و در این رابطه، از مقاومت حرارتی دیواره و رسوب گذاری صرف نظر می‌شود. از معادله E06 برای برآورد ضریب انتقال حرارت سطح داخلی (hi) استفاده می‌گردد، معمولاً بسته به نوع جریان، معادله‌های متفاوتی را می‌توان بکار برد (Levenspiel, 1986). در این مقاله از معادلات مربوط به جریان خطی استفاده شده است. از معادله E07 برای محاسبه ضریب انتقال حرارت سطحی در رابطه با کندانس شدن بخار آب در خارج لوله‌های عمودی (ho) استفاده می‌شود. معادله E08 برای محاسبه تعداد کل لوله‌ها (N) بکار می‌رود. معادلات E09 و E10 مربوط به شکل هندسی هستند. معادله E09 برای محاسبه سطح کل انتقال حرارت (A) با درنظر گرفتن تعداد (N) و اندازه (d, L) لوله‌ها بوده و معادله E10 برای محاسبه قطر پوسته مورد نیاز (D) به منظور داشتن فضای لازم برای لوله‌ها با آرایش مثلثی و شبیه ۲۵ درصد بیشتر از قطر لوله بکار می‌رود (Sinnott, 1996).

این مدل ۲۰ متغیر دارد که با کم کردن ۱۳ معادله از آن درجه آزادی ۷ بدست می آید. از بین هفت متغیر باقی مانده چهار عدد آن مشخصات معلوم فرآیند می باشند(جدول ۲). درجه آزادی تعیین کننده تعداد متغیرهای طراحی فرآیند می باشد(جعفری، ۱۳۸۸). تعداد درجات آزادی یک جسم برابر است با حداقل تعداد مشخصات مستقل که موقعیت آن جسم را بطور کامل تعیین می نماید. از بین متغیرهای یک سیستم باید آن دسته از متغیرها را عنوان متغیرهای مستقل انتخاب کنیم که توسط متغیرهای دیگر بدست نیایند و در رابطه موثر با تابع هدف باشند) Maroulis and Saravacos, 2002 (در اینجا تابع هدف، هزینه کل سالیانه TAC^1) انتخاب شده است. جهت بهینه سازی تابع هدف باید تاثیر متغیرهای طراحی(جدول ۳) بر روی این تابع بررسی شود و هر کدام از آنها مقداری بهینه داشته باشند تا درنهایت تابع هدف هم به مقداری بهینه برسد. داده های هزینه ای در جدول ۵ و معادلات مربوط به تجزیه و تحلیل هزینه ها در جدول ۶ آمده است.

سرعت سیال در داخل لوله ها (u) یکی از متغیرهای مهم طراحی است. زمانیکه سرعت بالایی انتخاب می شود، ضریب انتقال حرارت نیز بالا است اما در این حالت، افت فشار قابل توجهی رخ می دهد. بنابراین منجر به کم شدن هزینه ماشین آلات و افزایش هزینه کاری آنها خواهد شد.

قطر داخلی لوله (d) نیز یکی دیگر از متغیرهای مهم طراحی است. اگر مقدار قطر داخلی، کم انتخاب شود، ضریب انتقال حرارت افزایش خواهد یافت اما از طرف دیگر، افت فشار نیز بطور قابل توجهی افزایش می یابد. بنابراین باعث کمتر شدن هزینه ماشین آلات و بیشتر شدن هزینه کاری آنها خواهد شد.

تعداد مراحل عبور(n) باید طوری انتخاب شود که از لوله هایی با طول قابل قبول و کافی استفاده شود.

پیاده سازی مسئله در Excel

در این مرحله یک فایل جدید به نام ((Heat Exchanger.xls)) ایجاد نموده و در داخل صفحه گسترده ((فرآیند)), شش ناحیه جداگانه به شرح ذیل در نظر می گیریم(شکل ۱):

۱- داده های فنی ۲- مشخصات فرآیند ۳- متغیرهای طراحی ۴- مدل فرآیند ۵- داده های اقتصادی ۶- مدل اقتصادی

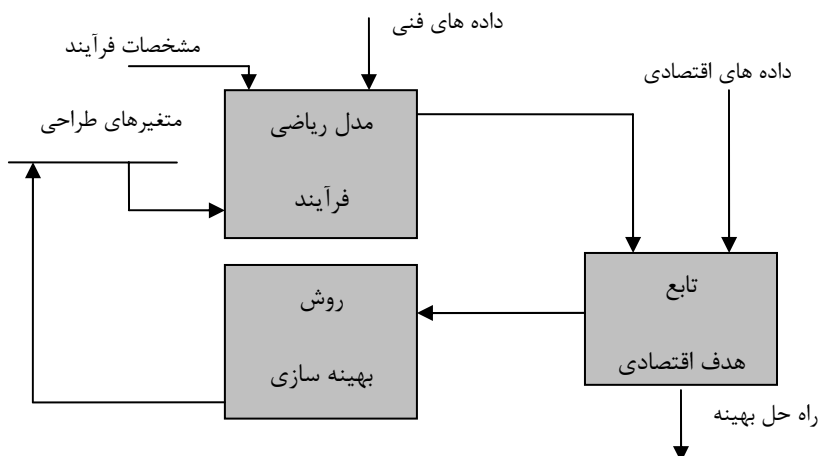
در ناحیه های مربوط به ((داده های فنی)), ((مشخصات فرآیند)), ((متغیرهای طراحی)) و ((داده های اقتصادی)) تنها یک سری داده وجود دارد. در ناحیه های ((مدل فرآیند)) و ((مدل اقتصادی)) نیز یک سری فرمول وجود دارند.

¹ Total Annual Cost

با وارد کردن داده ها و فرمول ها ، پیاده سازی مدل فرآیند تکمیل خواهد شد و صفحه گسترده حاصله یعنی صفحه ((فرآیند)) ظاهری شبیه شکل ۲ خواهد داشت. فلش های رسم شده نشانگر چگونگی جریان اطلاعات در صفحه گسترده هستند.

A	B	C	D	E	F	G	H	I	J	K	L
1											
2	داده های فنی			مدل فرآیند			داده های اقتصادی				
3	ρ	1130	Kg/m^3	FS	0.079545	Kg/s	C_{exc}	3000000	rial/ m^2		
4	C_p	3.5	$\text{kJ/kg}^\circ\text{C}$	ΔT_m	39.91178	$^\circ\text{C}$	n_{exc}	0.65			
5	Λ	0.55	W/mK	Q	175	kW	E_01				
6	η	0.27	Pa s	Q	175	kW	E_02				
7	ΔH_s	2200	kJ/kg	Q	18431.12	W	E_04				
8	η_w	0.25	mPas	A	9.491258	m^2	t_y	1400	hr/y		
9				E	2321.17	kW	l_t	0.12			
10	مشخصات فرآیند			U	48.65493	$\text{W/m}^2\text{K}$	l_f	5	y		
11	F	1	Kg/s	hi	49.14258	$\text{W/m}^2\text{K}$	جیان خطی	مدل اقتصادی			
12	T1	50	$^\circ\text{C}$	hi	30.37372	$\text{W/m}^2\text{K}$	جیان انتشاری	C_{eq}	12953338	rial	
13	T2	100	$^\circ\text{C}$	ho	4903.126	$\text{W/m}^2\text{K}$	جیان خطی	C_{op}	134239140	rial	
14	TS	120	$^\circ\text{C}$	f	0.382301		جیان انتشاری	e	0.2774097		
15				f	0.031453			TAC	137832522	rial	
16	متغیرهای طراحی			ΔP	2321170	pa					
17	u	1	m/s	N	45.09329						
18	d	0.01	m	L	6.7	m					
19	n	4		D	0.100899	m					

شکل ۱. صفحه فرآیند

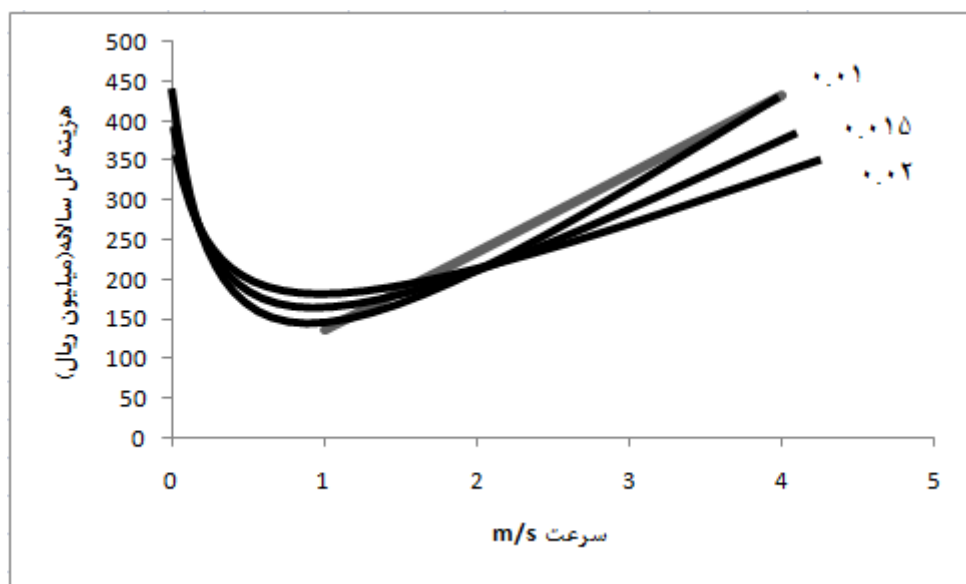


شکل ۲- نمودار جریان اطلاعات برای بهینه سازی فرآیند.

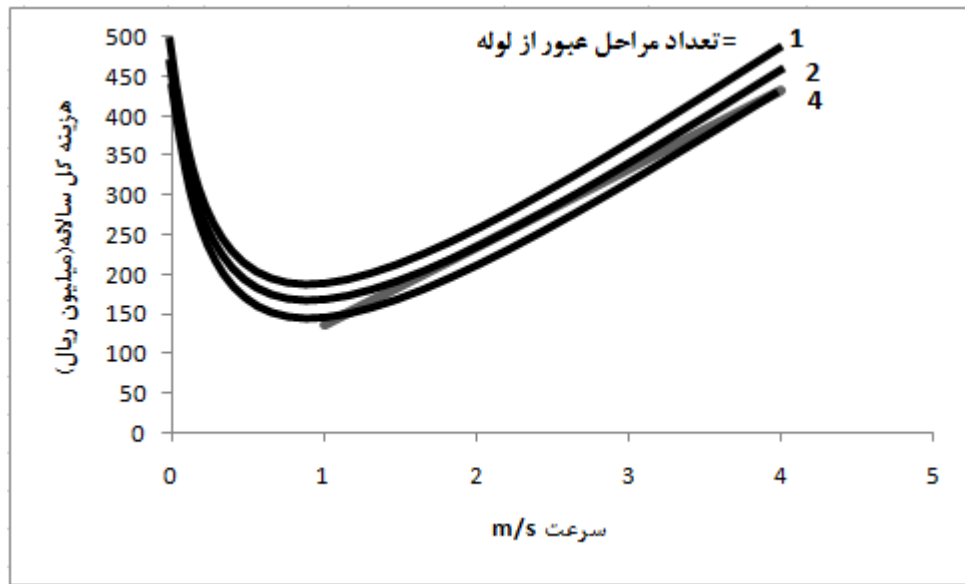
برای بدست آوردن مقدار بهینه در تابع هدف از ابزار Solver در اکسل استفاده می شود. با انتخاب تابع هدف در Solver به معنای کمترین مقدار برای کل هزینه سالیانه و انتخاب متغیرهای طراحی به عنوان متغیرهای Solver Min مقدار بهینه بدست می آید. لازم بذکر است که در ابزار Solver قسمتی برای قید ها در نظر گرفته شده است که می

توان بر متغیرهای طراحی قیدهایی را اعمال کرد. از بین سه متغیر طراحی تنها سرعت سیال در داخل لوله و قطر داخلی قیدگذاری می‌شود و تعداد مراحل عبور بدلیل گستته بودنش در نهایت مورد بررسی قرار می‌گیرد.

در شکل ۳ تاثیر سرعت سیال و قطر لوله بر هزینه کل نمایش داده شده است. بر اساس این نمودار نقطه بهینه در سرعت 1 m/s بدست می‌آید. برای بررسی تعداد مراحل عبور بر تابع هدف نمودار دفعات مختلف رسم شد و هرچه تعداد دفعات عبور بیشتر شود، هزینه کل کاهش می‌یابد(شکل ۴). نتایج تجزیه و تحلیل داده در شکل ۱ بصورت کامل آمده است.

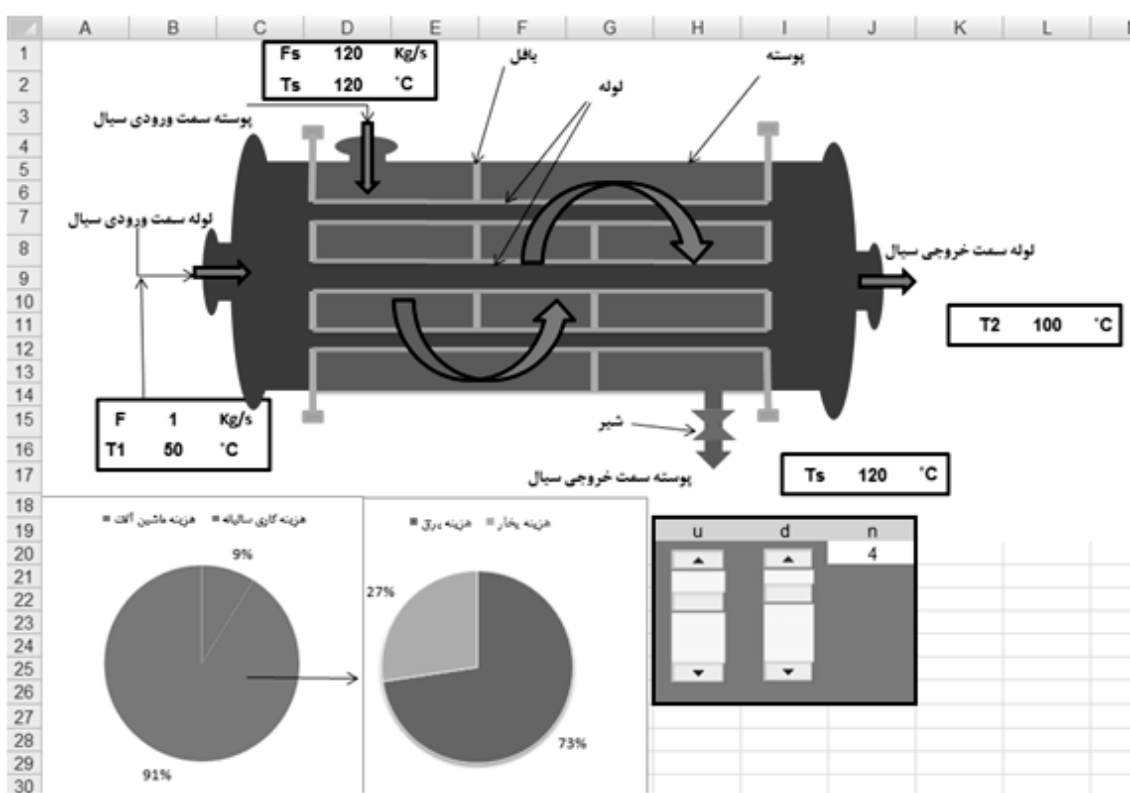


شکل ۳- تاثیر سرعت سیال و قطر لوله بر تابع هدف



شکل ۴- تاثیر تعداد مراحل عبور بر تابع هدف

صفحه گستردۀ اکسل این قابلیت را دارد تا بتوان در صفحه جریان فرایند با تغییر متغیرهای طراحی تاثیر آن را بر روی توابع مختلف بصورت عددی و نموداری مشاهده کرد. در شکل ۵ یک صفحه جریان از مبدل حرارتی پوسته و لوله وجود دارد که با تغییر پارامترهای مورد نظر تفکیک هزینه های تابع هدف تغییر می کند.



شکل ۵- صفحه جریان فرایند مبدل حرارتی پوسته و لوله

نتایج و بحث

با توجه به اینکه فرایند های حرارتی یکی از مراحل اصلی در تولید روب گوجه فرنگی است بهینه سازی فاکتور های موثر بر انتقال حرارت از دیدگاه اقتصادی بسیار حائز اهمیت است. نتایج حاصل از بررسی تاثیر سرعت های مختلف سیال بر هزینه سالیانه کل نشان داد که در سرعت 1 m/s هزینه سالیانه کمترین مقدار را داشت که حدود $12/2$ هزار دلار در سال می باشد. در مرحله بعد تاثیر همزمان سرعت سیال، قطر لوله و تعداد مراحل عبور از لوله بر هزینه سالیانه مورد ارزیابی قرار گرفت که در سرعت 1 m/s ، قطر 10cm و تعداد مراحل عبور از لوله برابر ۴ شاهد کمترین هزینه سالیانه خواهیم بود. با افزایش سرعت سیال ضریب انتقال حرارت به صورت نزولی و افت فشار ناشی از اصطکاک به صورت صعودی افزایش یافت و در هر دو حالت نقطه بهینه سرعت سیال 1 m/s بود. در بین معادلات، افت فشار مهمترین شاخص در طراحی مبدل حرارتی می باشد زیرا تنها معادله ای است که هر سه متغیر طراحی همزمان در آن بکار رفته شده است.

جدول ۱. مدل ریاضی فرایند

معادله	نماد	نام معادله
$Q = FC_P(T_2 - T_1)$	(E01)	موازنۀ انرژی برای محصول مورد نظر
$Q = F_s \Delta H_s$	(E02)	موازنۀ انرژی برای محیط حرارتی
$\Delta T_m = \frac{(T_s - T_1) - (T_s - T_2)}{\ln[(T_s - T_1)/(T_s - T_2)]}$	(E03)	اختلاف دمای میانگین(نیروی رانش)
$Q = AU\Delta T_m$	(E04)	انتقال حرارت بین دو جریان
$\frac{1}{U} = \frac{1}{h_i} + \frac{1}{h_o}$	(E05)	ضریب انتقال حرارت کلی (U)
برای جریان خطی.		
$\left(\frac{h_i d}{\lambda}\right) = 1.86 \left(\frac{\rho du}{\eta} \frac{C_p \eta}{\lambda} \frac{d}{L}\right)^{1/3} \left(\frac{\eta}{\eta_w}\right)^{0.14}$	(E06)	برآورد ضریب انتقال حرارت سطح داخلی (h_i)

برای جریان متلاطم.

$$\left(\frac{h_i d}{\lambda}\right) = 0.023 \left(\frac{\rho du}{\eta}\right)^{0.8} \left(\frac{C_p \eta}{\lambda}\right)^{1/3} \left(\frac{\eta}{\eta_w}\right)^{0.14}$$

$$h_o = 2750 \left(\frac{Nd}{F_s}\right)^{1/3} \quad (\text{E07}) \quad \begin{array}{l} \text{ضریب انتقال حرارت سطحی در رابطه با کندانس} \\ \text{شدت بخار آب در خارج لوله های عمودی } (h_0) \end{array}$$

$$u = \frac{F}{\rho \frac{N}{n} \left(\frac{\pi d^2}{4}\right)} \quad (\text{E08}) \quad \begin{array}{l} \text{کل تعداد لوله ها } (N) \\ \text{نیاز } (D) \end{array}$$

$$A = N\pi dL \quad (\text{E09}) \quad \begin{array}{l} \text{سطح کل انتقال حرارت } (A) \text{ با در نظر گرفتن} \\ \text{تعداد } (N) \text{ و اندازه لوله ها } (d, L) \end{array}$$

$$N = 0.319 \left(\frac{D}{d}\right)^{2.142} \quad (\text{E10}) \quad \begin{array}{l} \text{قطر پوسته مورد نیاز } (D) \\ \text{نیاز } (D) \end{array}$$

$$\Delta P = n \left[4f \left(\frac{L}{d}\right) + 2.5 \right] \frac{\rho u^2}{2} \quad (\text{E11}) \quad \begin{array}{l} \text{افت فشار ناشی از اصطکاک در داخل لوله} \\ (f) \end{array}$$

$$f = 16 \left(\frac{\rho du}{\eta}\right)^{-1} \quad \begin{array}{l} \text{برای جریان خطی.} \\ (\text{E12}) \end{array} \quad \begin{array}{l} \text{ضریب اصطکاک } (f) \\ \text{نیاز } (D) \end{array}$$

$$f = 0.08 \left(\frac{\rho du}{\eta}\right)^{-1/4} \quad \begin{array}{l} \text{برای جریان متلاطم.} \\ (\text{E13}) \end{array}$$

$$E = F \Delta P \quad (\text{E13}) \quad \begin{array}{l} \text{برآورده کار الکتریکی مورد نیاز پمپ} \\ (P) \end{array}$$

جدول ۲. مشخصات فرآیند

جدول ۳. متغیرهای طراحی

نام معادله	نماد	معادله	نام معادله	نماد	معادله
سرعت سیال در لوله ها	u	m/s	شدت جریان خوراک ورودی	F	Kg/s
قطر لوله	d	m	دماخوراک ورودی	T_1	$^{\circ}C$
تعداد مراحل عبور از لوله ها	n	-	دماخهدف (موردنظر)	T_2	$^{\circ}C$
			دما بخار	T_S	$^{\circ}C$

جدول ۵. داده های هزینه ای

معادله	نام	معادله
C_{exc}	هزینه واحد مبدل حرارتی	$m^2/\text{ریال}$
n_{exc}	فاکتور مقیاس مبدل حرارتی	-
C_s	هزینه بخار حرارتی	$\text{kWh}/\text{ریال}$
C_e	هزینه برق	$\text{kWh}/\text{ریال}$
t_y	زمان کاری سالیانه	سال/ساعت
i_r	نرخ بهره	-
l_f	عمر مفید	سال

جدول ۶. داده های فنی

معادله	نام	معادله
ρ	دانسیته سیال	Kg/m^3
CP	گرمای ویژه سیال	$\text{kJ/kg}^\circ\text{C}$
λ	ضریب هدایت حرارتی سیال	W/mK
n	ویسکوزیته ظاهری سیال	Pa s
$HS\Delta$	گرمای نهان بخار در حال کندانس	kJ/kg
n_w	ویسکوزیته ظاهری آب داغ	W/mK

جدول ۷. تجزیه و تحلیل هزینه ها

معادله	نام	معادله
$C_{eq} = C_{exc} A^{n_{exc}}$	(C14)	هزینه ماشین
		آلات
$C_{op} = (C_s Q + C_e E) t_y$	(C15)	هزینه کاری
		سالیانه
$TAC = e C_{eq} + C_{op}$	(C16)	کل هزینه
		سالیانه (تابع
		هدف)

$$e = \frac{i_r (1+i_r)^{l_f}}{(1+i_r)^{l_f} - 1} \quad (\text{C17}) \quad \begin{array}{l} \text{فاکتور برگشت} \\ \text{سرمایه} \end{array}$$

منابع و مأخذ

- ۱- آذرکیش، ح. حسینی سروری، س،م. احتشامی، ح. ۱۳۸۶. طراحی بهینه مبدل حرارتی پوسته و لوله با استفاده از الگوریتم ژنتیک. پانزدهمین کنفرانس سالانه(بین المللی) مهندسی مکانیک ISME2007 ایران تهران دانشگاه صنعتی امیرکبیر.
 - ۲- شانظری،م،م. شهرکی، ف. ۱۳۸۴. طراحی مبدل های حرارتی با توجه به مساله افت فشار در آنها. دهمین کنگره ملی مهندسی شیمی ایران-دانشگاه سیستان و بلوچستان.
 - ۳- جعفری،س،م. ۱۳۸۸. طراحی فرآیندهای صنایع غذایی. انتشارات دانشگاه علوم کشاورزی و منابع طبیعی گرگان.
 - ۴- طسوچی آذر، ر. ۱۳۸۷. بهینه سازی عملکرد مبدل‌های پوسته- لوله‌ای با استفاده از تکنولوژی بافلهای مارپیچ. شانزدهمین کنفرانس سالانه(بین المللی) مهندسی مکانیک ISME2008- ایران کرمان، دانشگاه شهید باهنر کرمان.
 - ۵- کهرم.م و حسینی. ۱۳۸۶. بهینه سازی طراحی مبدل حرارتی پوسته لوله با استفاده از الگوریتم ژنتیک. پانزدهمین کنفرانس سالانه(بین المللی) مهندسی مکانیک ISME2007 ایران تهران دانشگاه صنعتی امیرکبیر.
 - ۶- نصیرپور،و. کثیری،ن. ۱۳۸۴. توسعه یک مدل جدید به منظور ارزیابی حرارتی مبدل های پوسته و لوله. دهمین کنگره ملی مهندسی شیمی دانشگاه سیستان و بلوچستان.
- 7- Bell, K. J., 1988. Delaware method for shellside design, in Heat Transfer Equipment Design (R. K. Shah,E. C. Subbarao, and R. A. Mashelkar, eds.), Hemisphere, Washington, D.C., pp. 145-166.
- 8- Butter Worth .D and Mascone .C.F,1991. Heat transfer heads into the 21 st century. Chemical Engineering Progress.
- 9- Chenoweth, J. M., and Kistler, R. S., 1976. Computer Program as a Tool for Heat Exchanger Rating and Design, ASME Paper No. 76-WA/HT-4.
- 10-KUPPRN.T,2000. Heat Exchanger Design Handbook. ISBN: 0-8247-9787-6
- 11-Levenspiel.O, 1986. Engineering Flow and Heat Exchange. Plenum Press, New York.
- 12-Maroulis,Z.B, Saravacos,G.D, 2002. Modeling, simulation and design of drying processes. Keynote Lecture at the 13th International Drying Symposium, Beijing, China.

- 13- Nikpay.M,2008. Evaluation of Shell and Tube Heat Exchangers with Magnetic Leakage Method. The 2nd international Conference on Technical Inspection.Tehran
- 14- Palen, J. W.,1986. Design of process heat exchanger by computers-A short history, Heat Transfer, Eighth International Conference-San Francisco, pp. 239-248.
- 15- Pritiviraj .M and Andrews .M.J,1996. A numerical investigation of the 3-D flow in shell and tube heat exchangers. Proceedings of the ASME Heat Transfer Division, Volume 4.
- 16- Sinnott RK.1996.Chemical process design. In Chemical Engineering vol. 6. JM Coulson and JF Richardson,eds.Butterworth-Heinemann, London.

Abstract:

Heat exchangers are special types of heat transfer equipment which are used in different industries. More than 37 % of applied heat exchanger in the industry are shell and tube ones. To increase heat transfer rate and economic efficiency in processing, it is necessary to have high coefficients of heat transfer. In this study, we designed a mathematic model in Excel environment including 20 variables, 13 equations, and 7 free degree parameters. Three main parameters out of seven were selected for design variables. Optimization of the process was done with Excel software. The effects of design variables was evaluated and our results revealed that for production cost minimization, the fluid velocity, internal diameter, and number of passages should be 1m/s, 10cm, and 4 times, respectively. Pressure drop was the main factor in this study.

Keywords: Optimization, Excel, pressure drop, heat exchanger.